

5. Quantenelektrodynamik (QED) [Feynman, Schwinger, Tomonaga, Dyson 1946-51]

Die QED ist wohl die am genauesten verifizierte Theorie der Physik. Das magnetische Moment des Elektrons, z.B., kann sowohl experimentell gemessen als auch theoretisch berechnet werden:

$$\frac{\mu_e}{\mu_B} = 1.001159652187(4) \quad (\text{exp})$$

↑
"das Bohrsche Magneton"

die Unsicherheit der letzten Ziffer

$$= 1.001159652201(27) \quad (\text{th})$$

Alles womit wir uns im "täglichen Leben" beschäftigen, z.B. die ganze Chemie, folgt auch letztendlich von der QED.

Und nun, was ist die QED? Alles ist enthalten in:

$$\hat{L}_I = e \bar{\psi} \gamma^\mu \hat{A}_\mu \psi$$

Hier : $e = \text{Elementarladung}$

$$\alpha_{EM} = \text{Feinstrukturkonstante} = \frac{e^2}{4\pi} \stackrel{\text{unsere Einheiten}}{\simeq} \stackrel{\text{SI-Einheiten}}{\simeq} \frac{e^2}{4\pi \epsilon_0 c}$$

$$\approx \frac{1}{139.035998} \quad [\text{für kleine Energien...}]$$

Vertex :



⇒

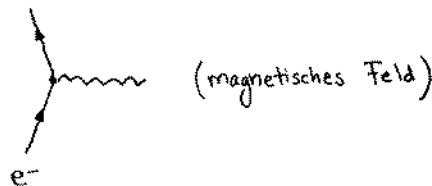
$\delta V = ie\gamma^\mu$

5.1 Grundlegende Prozesse

Jetzt können wir die Feynman-Diagramme für verschiedene wichtige Prozesse zeichnen.

(i) Prozess erster Ordnung

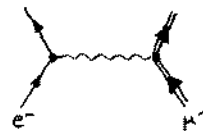
- Magnetisches Moment des Elektrons, $\frac{\mu_e}{\mu_B} = 1$.



(ii) Prozesse zweiter Ordnung -

Elastisch

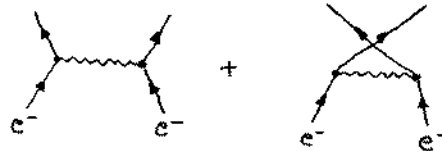
- Elektron-Myon-Streuung,
 $e^- + \mu^- \rightarrow e^- + \mu^-$



Für $m_\mu \rightarrow \infty$ wird dies "Mott-Streuung" genannt, für $v_e \rightarrow 0$ "Rutherford-Streuung" (d.h. $e^- + p^+ \rightarrow e^- + p^+$); in diesem Fall spielt die Ladung keine Rolle.

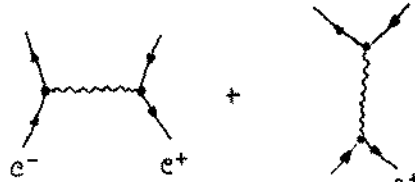
- Elektron-Elektron-Streuung,
 $e^- + e^- \rightarrow e^- + e^-$

Auch bekannt als "Möller-Streuung".



- Elektron-Positron-Streuung,
 $e^- + e^+ \rightarrow e^- + e^+$

Auch bekannt als "Bhabha-Streuung".



- Elektron-Photon-Streuung,

$$e^- + \gamma \rightarrow e^- + \gamma$$

Auch bekannt als "Compton-Streuung"



Inelastisch

(51)

- Paarvernichtung,
 $e^- + e^+ \rightarrow \gamma + \gamma$



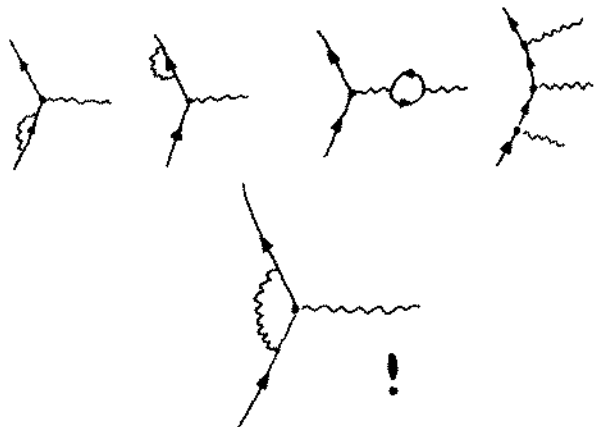
- Paarerzeugung,

$$\gamma + \gamma \rightarrow e^- + e^+$$



(iii) Wichtigste Prozesse dritter Ordnung

- "Strahlungskorrekturen" zum magnetischen Moment des Elektrons, oder "anomales magnetisches Moment" des Elektrons



Wie groß könnten solche Korrekturen sein?

* Zwei neue Vertizes $\Rightarrow e^2$

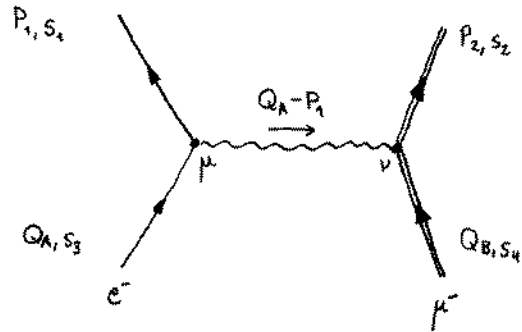
* jede neue Schleifen-Ordnung bringt $\frac{1}{(4\pi)^2} \Rightarrow \frac{1}{4} \cdot \frac{e^2}{4\pi^2} = \frac{1}{4} \cdot \frac{\alpha_{\text{EM}}}{\pi}$

$$\Rightarrow \frac{1}{4} \cdot \frac{1}{\pi} \cdot \frac{1}{137} \sim \frac{1}{1900} ?$$

Die richtige Antwort ist $\frac{\alpha_{\text{EM}}}{2\pi} = 0.0011614$!

(Vgl. $\frac{\alpha_e}{m_B} (\text{exp}) = 1.001159652 \dots$)

Bestimmen wir die Amplitude für Elektron-Myon-Streuung.



Wir bewegen uns entlang jeder Fermion-Linie "rückwärts":

$$\begin{aligned}
 M &= \bar{u}(\vec{p}_1, s_1) i e \gamma^\mu u(\vec{q}_1, s_3) \times \bar{u}(\vec{p}_2, s_2) i e \gamma^\nu u(\vec{q}_2, s_4) \\
 &\quad \uparrow \quad \uparrow \quad \uparrow \\
 &\quad \text{auslaufendes} \quad \text{Vertex} \quad \text{einführendes} \\
 &\quad \text{Elektron} \quad (S.45) \quad (S.49) \quad \text{Elektron} \quad (S.45) \\
 &\quad \times \frac{(-i \eta_{\mu\nu})}{(Q_A - P_1)^2} \times (+i) \\
 &\quad \uparrow \quad \uparrow \\
 &\quad \text{Photon-Propagator} \quad \text{Gesamtphase} \\
 &\quad (S.47) \quad (S.47) \\
 &= -\frac{e^2}{(Q_A - P_1)^2} \bar{u}(\vec{p}_1, s_1) \gamma^\mu u(\vec{q}_1, s_3) \times \bar{u}(\vec{p}_2, s_2) \gamma_\mu u(\vec{q}_2, s_4)
 \end{aligned}$$

Dies ist eine reine Zahl für gegebene $\vec{p}_1, \vec{p}_2, \vec{q}_1, \vec{q}_2, s_1, s_2, s_3, s_4$;
Zum nächsten Mal werden wir $|M|^2$ auswerten.

Wenn es mehrere Diagramme gleicher Ordnung gibt, müssen diese addiert / subtrahiert werden [Regel ⑥ auf S.47].

In einem solchen Fall erhalten wir

$$\begin{aligned}
 |M|^2 &= |M_1 \pm M_2|^2 = (M_1 \pm M_2)(M_1^* \pm M_2^*) \\
 &= |M_1|^2 + |M_2|^2 \pm (M_1 M_2^* + M_2 M_1^*),
 \end{aligned}$$

wo der letzte Teil quantenmechanische Interferenz repräsentiert.